И. Демидова-Буйзинене, д. т. н. И. Пундиене(⊠)

Научный институт термоизоляции Вильнюсского технического университета им. Гедиминаса, г. Вильнюс, Литва

УДК 666.974.2:666.762.1]:666.368

ВЛИЯНИЕ КОЛИЧЕСТВА ДЕФЛОКУЛЯНТА НА ИЗМЕНЕНИЯ ФИЗИКО-МЕХАНИЧЕСКИХ СВОЙСТВ СРЕДНЕЦЕМЕНТНЫХ ЖАРОСТОЙКИХ БЕТОНОВ В ПРОЦЕССЕ СУШКИ И ТЕРМООБРАБОТКИ

Приведены результаты исследования свойств цементной матрицы среднецементного жаростойкого бетона с добавками дефлокулянтов — триполифосфата натрия и поликарбоксилатного эфира. Рассмотрено влияние количества дефлокулянтов и температуры термообработки на изменения состава продуктов гидратации матрицы после твердения при 20 °C и сушки при 60, 80 и 110 °C. Проведен сравнительный анализ изменения физико-механических свойств бетонов и оценена их термостой-кость в зависимости от количества и типа дефлокулянта.

Ключевые слова: среднецементный жаростойкий бетон, дефлокулянт, стратлингит C_2ASH_8 , гидратация, сушка, твердение, прочность, структура бетона.

ВВЕДЕНИЕ

азличные дефлокулянты широко используются в производстве жаростойких бетонов с добавкой микрокремнезема [1-4]. Их влияние на реологические свойства бетона, уменьшение водопотребности бетонной смеси достаточно хорошо изучено [5-9]. Установлено, что частицы алюминатного цемента имеют положительный заряд, а различные добавки (например, микрокремнезем) — отрицательный, поэтому в смеси без дефлокулянта при затворении водой частицы притягиваются друг к другу и водопотребность увеличивается. Расстояние между частицами в цементной смеси без добавки дефлокулянта составляет не менее 10 нм, а с добавкой дефлокулянта увеличивается до 200 нм [5].

Исследованиям жаростойких бетонов с применением дефлокулянтов триполифосфата натрия и поликарбоксилатного эфира посвящено немало публикаций [10—12]. Следует отметить, что наилучшие результаты применения дефлокулянтов достигнуты в составах с высококачественным заполнителем, например с муллитом, корундом, силлиманитом, андалузитом. Однако производители бетонов чаще применяют более дешевые заполнители, такие как шамот, в котором содержание

⊠ И. Пундиене E-mail: ina.pundiene@gmail.com Al_2O_3 колеблется в пределах 30–35 %, поэтому исследования составов с шамотным заполнителем перспективны [13-15]. Известно, что производители бетонов нередко испытывают трудности при подборе оптимальных типа и количества дефлокулянта. В руководстве по применению дефлокулянтов производители указывают достаточно широкий интервал их возможного применения (0,05-0,40%), однако конкретных рекомендаций, как различные количества дефлокулянта могут влиять на физико-механические свойства бетонов в процессе твердения и после термообработки, не предоставляют. Публикации о возможных последствиях передозировки дефлокулянта в бетонной смеси немногочисленны [3, 6, 16-18]. Известно, что дефлокулянты могут влиять на пористость, плотность и прочность бетона [6, 19]. В предыдущих исследованиях [6, 9, 11] было установлено, что увеличение количества триполифосфата натрия в составе глиноземистого цемента с добавкой микрокремнезема при температуре твердения 20 °C ускоряет процессы гидратации, однако увеличивает усадку бетона после обжига и ухудшает прочностные характеристики. При увеличении в бетоне количества дефлокулянта Castament FS 20 улучшаются реологические свойства смеси, но замедляются процессы гидратации [9, 11, 20]. Влияние триполифосфата натрия на процессы гидратации глиноземистого цемента с добавкой микрокремнезема исследовано ранее [21]. Механизм набора прочности образцов в зависимости от количества дефлокулянта показал,

что применение триполифосфата натрия не ухудшает прочностные характеристики композиции глиноземистого цемента с добавкой цеолита (67 % SiO₂) по сравнению с композициями без дефлокулянта, твердеющими при 38 °C. Однако присутствие стратлингита — продукта реакции между микрокремнеземом и минералами цемента - в композиции с дефлокулянтом не было установлено. Авторы публикации [3] считают также, что условия твердения имеют большое значение для процесса образования стратлингита. При твердении в воде при 20 °C пасты глиноземистого цемента (В/Ц = 0,3) с микрокремнеземом и добавкой триполифосфата натрия стратлингит обнаруживается после 7 сут твердения наравне с С2АН8. Использование микрокремнезема в сочетании с триполифосфатом натрия в пастах на основе глиноземистого цемента (В/Ц = 0,3) показало [22], что добавка триполифосфата натрия улучшает реологические свойства раствора и снижает падение прочности образцов в процессе твердения при 38 °C, однако механизм влияния триполифосфата натрия на снижение прочности образцов остается невыясненным. Установлено [21-24], что щелочные ионы имеют большое значение в процессе образования стратлингита.

Как видно из проведенного обзора, механизм набора прочности образцов жаростойкого бетона с добавкой микрокремнезема в зависимости от применяемого типа и количества дефлокулянта изучен недостаточно. Влияние дефлокулянтов различного типа на формирование структуры затвердевшего бетона в процессе сушки, когда происходит интенсивная конверсия кристаллогидратов, также мало изучено. Для этого необходимы исследования влияния каждого отдельного дефлокулянта на процесс гидратации глиноземистого цемента, а также на эксплуатационные свойства бетона. Поэтому цель данной работы — выяснить, как различные количества дефлокулянтов влияют на гидратацию цемента в процессе твердения и сушки и как это отражается на физико-механических свойствах исследованных среднецементных жаростойких бетонов на шамотном заполнителе.

ЭКСПЕРИМЕНТАЛЬНАЯ ЧАСТЬ

Для исследований были использованы следующие материалы: микрокремнезем (МК) марки RW-Fuller (SiO₂ 96,1 %), средний размер частиц которого составляет около 150 нм; глиноземистый цемент «Gorkal-70» (Γ 70) (Al₂O₃ не менее 70%); шамотный заполнитель (фракции

< $10\,\mathrm{mm}$), полученный из шамотного кирпича ША ($\mathrm{Al_2O_3} \geq 30\,\%$) путем дробления и рассева на ситах; дефлокулянты — Castament FS 20 (FS), относящийся к группе поликарбоксилатных эфиров, и технический безводный триполифосфат натрия $\mathrm{Na_5P_3O_{10}}$ (NT).

Было приготовлено 7 составов цементной матрицы, состоящей из Г70 и МК при соотношении 2,33 : 1,00, в которых менялось только количество дефлокулянта. Соотношение дистиллированной воды и твердого компонента было постоянным (0,27). Такое соотношение подобрано для того, чтобы максимально приблизить условия эксперимента к реальному соотношению воды и цементной матрицы в бетоне. С той же целью размеры образцов для исследований были выбраны такими же, как и у образцов бетона $(70 \times 70 \times 70 \text{ мм})$. Первый состав «0» был изготовлен без добавки дефлокулянта. В составах с добавкой NT или FS их количество в матрице составляло 0,1, 0,2 и 0,3 % от количества твердого компонента; составы обозначены соответственно NT 0,1, NT 0,2, NT 0,3 и FS 0,1, FS 0,2, FS 0,3.

Рентгенофазовый анализ образцов бетона проводили на рентгенодифрактометре ДРОН-7, антикатод — медный, фильтр — никелевый, анодное напряжение 30 кВ, анодный ток 12 мА. Для расшифровки пиков использовали базу данных ICDD. Количественные изменения минералов в образцах цементной матрицы после твердения в течение 1 сут и сушки в течение 1 сут при 60 и 80 и 110 °С оценивали по высоте пика основного дифракционного максимума исследуемого минерала на рентгенограмме.

Для сравнения характеристик среднецементных бетонов было приготовлено 6 составов бетона, различающихся между собой только типом и количеством дефлокулянта. Состав исследованных бетонов (мас. %): Г70 10, МК 5, дисперсный шамот 20, шамотный заполнитель 65, вода 7,5 (сверх 100 % сухих компонентов). В составах с добавкой NT или FS их количество менялось от 0,1 до 0,3 % (сверх 100 % сухих компонентов). Составы бетона в зависимости от количества и типа дефлокулянта обозначены: NT 0,1, NT 0,2, NT 0,3 и FS 0,1, FS 0,2, FS 0,3.

Структуру образцов исследовали на сканирующем электронном микроскопе (СЭМ) JSM-7600F фирмы JEOL, Япония. Образцы бетона готовили, обрабатывали и определяли их основные физико-механические свойства по ГОСТ 20910 и LST EN 1402, сушили и обжигали в соответствии с инструкцией СН 156–79; скорость прохождения ультразвукового импульса (УЗИ) в образцах определяли с помощью при-

№ 3 2014 HOBble OTHEYNOPH ISSN 1683-4518 **135**

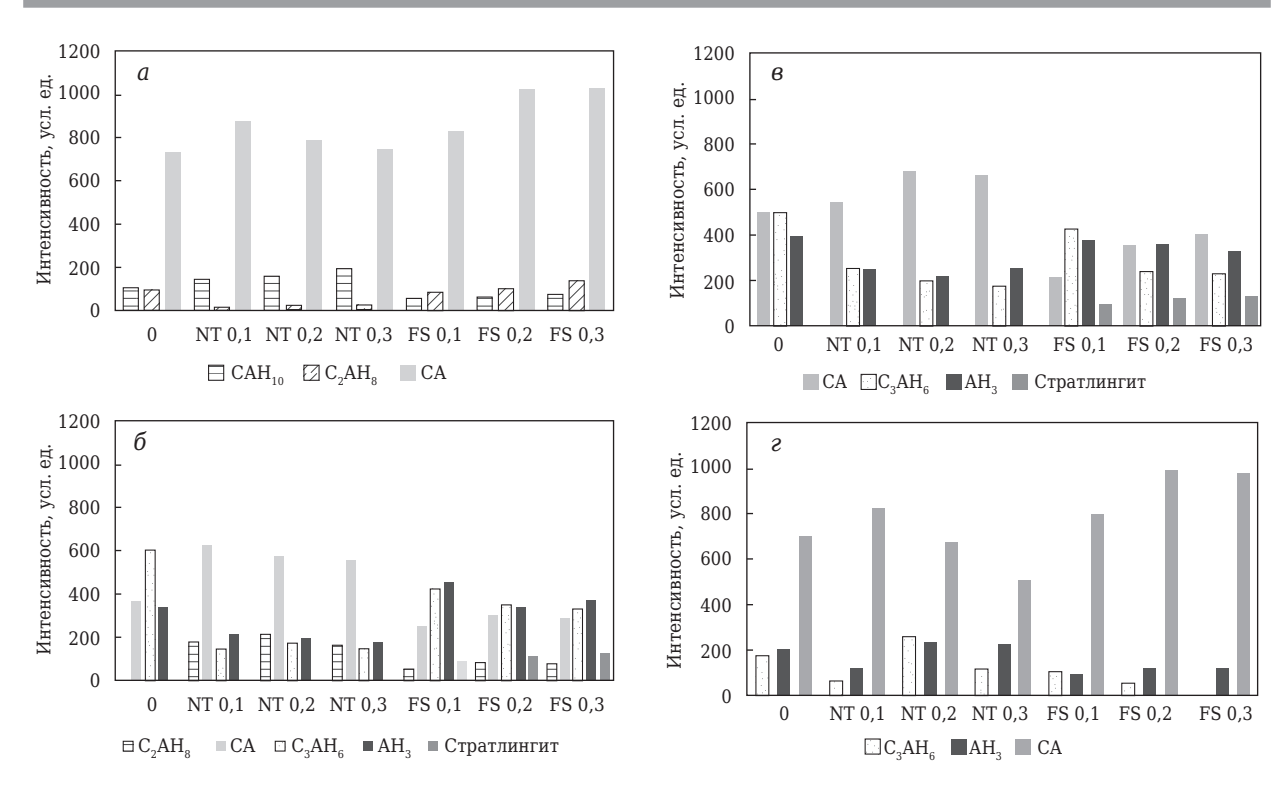


Рис. 1. Зависимость высоты пика основного дифракционного максимума исследуемого минерала в цементной матрице от количества NT и FS после термообработки при 20 (a), 60 (б), 80 (в) и 110 °C (г)

бора «Pundit 7». Предел прочности при сжатии $\sigma_{\text{Cж}}$ жаростойкого бетона после 3 сут твердения исследовали на гидравлическом прессе ALPHA3-3000 S в соответствии с требованиями LST EN 12390-3:2009, термостойкость определяли по методике, описанной в статье [25]. Термоциклы с нагревом до 800 °С и охлаждением между двумя водоохлаждаемыми металлическими плитами проводили на образцах размерами $40 \times 40 \times 160$ мм. После 1-, 3- и 7-го термоциклов определяли скорость УЗИ и рассчитывали критерии термостойкости.

Результаты рентгенографических исследований образцов цементной матрицы после твердения в течение 1 сут при 20°C показали (рис. 1, а), что в образце без добавок присутствуют минералы CA (плотность $2,69 \text{ г/см}^3$), CAH_{10} (плотность 1,76 г/см³) и C_2AH_8 (плотность 1,95 г/см³). В образцах с добавкой NT наряду с СА присутствуют САН₁₀ и очень незначительное количество С2АН8. Увеличение количества NT в образцах ведет к повышению содержания САН10 и уменьшению количества СА. Это, возможно, связано как со свойствами самого дефлокулянта (щелочная реакция в водной среде), так и с тем, что с большим количеством дефлокулянта процесс перегруппировки молекул воды между зернами цемента и МК идет интенсивнее и образуются более толстые прослойки воды [26-28]; гидратация протекает интенсивней. В образцах с FS присутствуют

136

СА, САН $_{10}$ и С $_{2}$ АН $_{8}$, а также аморфная фаза. При увеличении количества FS в образцах непрореагировавшего СА остается больше, что можно объяснить тормозящим гидратацию действием дефлокулянта, имеющего кислотную реакцию в водной среде. Однако С $_{2}$ АН $_{8}$ в образцах образуется больше, чем САН $_{10}$. С увеличением количества FS эта тенденция еще более выражена.

После термообработки при 60 °C в образцах всех составов минерал САН₁₀ не идентифицирован (рис. 1, б, рис. 2); наблюдаются снижение количества СА и образование минералов C_3AH_6 (плотность 2,53 г/см³) и AH_3 (плотность 2,34-2,39 г/см³). В образцах с NT наряду с вышеупомянутыми минералами наблюдается интенсивная кристаллизация С2АН8. В образцах с FS C₃AH₆ и АН₃ образуются интенсивнее, чем в образцах с NT; появляется также продукт взаимодействия минералов цемента и MK — стратлингит C_2ASH_8 , наличие которого при твердении выше 40 °C подтверждается ранее проведенными исследованиями [22, 29, 30]. Следует отметить, что в образцах с FS уменьшение количества С2АН8 наряду с кристаллизацией стратлингита наблюдается не случайно; об этом свидетельствуют данные [29]. То, что в процессе твердения в образцах с FS доминирует С2АН8, является основной предпосылкой образования стратлингита. Общее количество продуктов гидратации в образцах с FS заметно выше, чем в образцах с NT. Это можно объяс-

HOBЫE OГНЕУПОРЫ ISSN 1683-4518 № **3 2014**

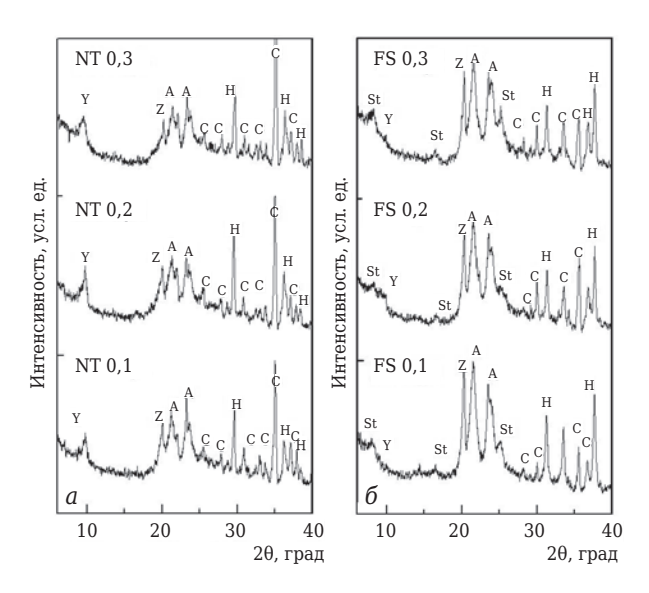


Рис. 2. Рентгенограммы образцов матрицы с различным количеством дефлокулянтов NT (a) и FS (δ) после термообработки при 60 °C: C — CA; H — CA2; Y — C₂AH₈; A — AH₃; Z — C₃AH₆; St — стратлингит C₂ASH₈

нить тем, что количество непрореагировавшего CA в образцах с FS заметно меньше, чем в образцах с NT. Можно заключить, что при данной температуре FS заметно ускоряет процессы как гидратации, так и конверсии.

После термообработки при 80 °C в образцах всех составов минерал С2АН8 не идентифицирован (рис. 1. в): наблюдаются изменения в количественных соотношениях между СА, С₃АН₆ и АН3, обусловленные процессами дегидратации и конверсии кристаллогидратов. Эти процессы отражаются на количественных соотношениях между СА и кристаллогидратами. В образцах с FS это соотношение составляет приблизительно 1: 2, в образцах с NT 3: 2, т. е. они более плотные. В образцах с FS присутствует стратлингит, количество непрореагировавшего СА в образцах с FS все еще заметно меньше, чем в образцах с NT. После термообработки при 110 °C (рис. 1, г) процесс дегидратации способствует уменьшению количества продуктов гидратации и увеличению количества CA, особенно в образцах с FS. Основным продуктом гидратации является АН₃, плотность которого меньше, чем у С₃АН₆. После обработки при данной температуре стратлингит в образцах не идентифицируется, что подтверждается ранее проведенными исследованиями [31]. В образцах с NT при увеличении его количества соотношение между С₃АН₆ и АН₃ приблизительно такое же, как и при термообработке при 80°C, а значит, преобладают более плотные кристаллогидраты.

Подводя итоги, можно сказать, что, применяя дефлокулянты различного типа, можно изменять соотношение и состав продуктов ги-

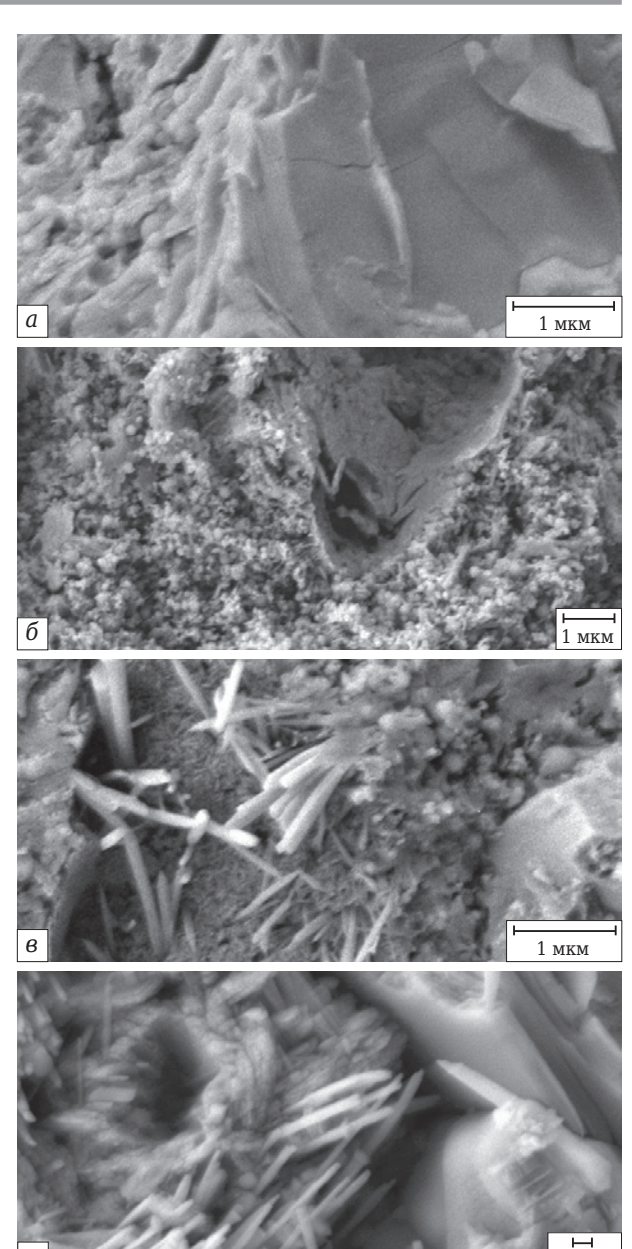


Рис. 3. Микроструктура образца цементной матрицы с добавкой NT (a, e) и добавкой FS (b, e) после термообработки при 60 (a, b) и 80 °C (e, e)

дратации цементной матрицы как в процессе твердения, так и в процессе термообработки. Установлено, что в процессе термообработки в интервале 60–80 °C в матрицах с добавкой дефлокулянта FS гидратация протекает более активно, продуктов больше и образуется стратлингит.

Исследования на СЭМ показали, что микроструктура образцов цементной матрицы с максимальным количеством дефлокулянтов NT и FS (0,3%) после термообработки при 60°C различается. В образцах с NT (рис. 3, а) доминируют крупные агрегаты гидратированного минерала СА. Контактных зон между микросферами

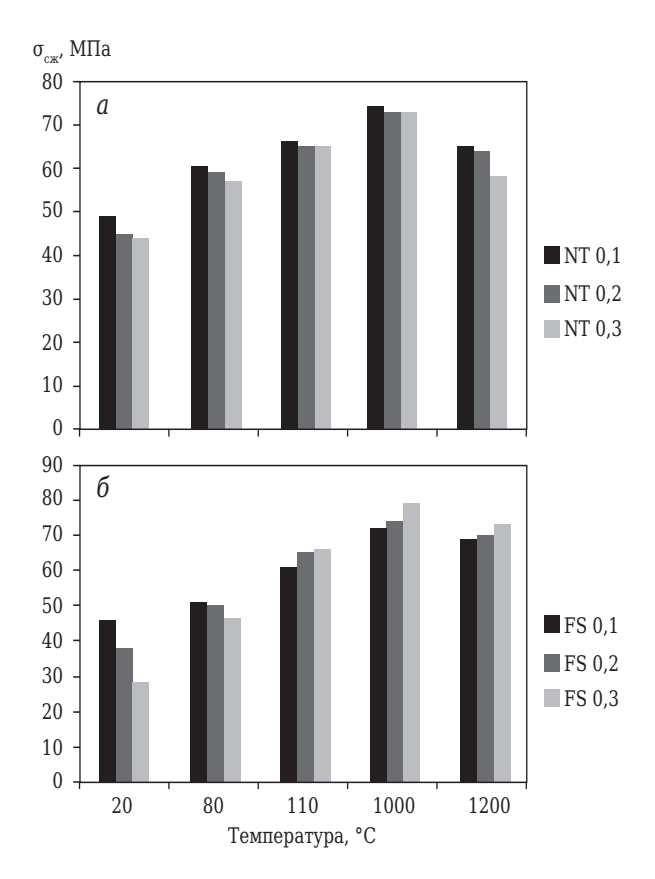


Рис. 4. Значения $\sigma_{\text{сж}}$ образцов бетона после термообработки при различных температурах в зависимости от количества дефлокулянта NT (a) и FS (b)

МК и матрицей не наблюдается. В образцах с FS (рис. 3, δ) наблюдается множество контактов между матрицей и микросферами МК; на поверхности микросфер видны различные новообразования.

Микроструктура образцов после термообработки при 80 °С также различается. В образце с NT (рис. 3, в) наряду с микросферами МК наблюдаются как мелкие чешуйчатые пластинки, так и радиально-лучистые агрегаты AH₃ и крупные кубические кристаллы С₃AH₆. Присутствие таких кристаллогидратов подтверждается ранее проведенными исследованиями [32]. При анализе микроструктуры образца с FS наряду с агрегатами AH₃ и кристаллами С₃AH₆ заметно образование гексагональных пластинок стратлингита (рис. 3, г).

Для исследования влияния добавок NT и FS на физико-механические свойства образцов среднецементного жаростойкого бетона после твердения в течение 3 сут, сушки при 60, 80 и 110 °C и обжига при 1000 и 1200 °C был исследован их предел прочности при сжатии $\sigma_{\rm cж}$ (рис. 4). После твердения образцы с NT незначительно различаются между собой, в то время как увеличение количества FS значительно снижает $\sigma_{\rm cx}$ (от 45 до 28 МПа), что под-

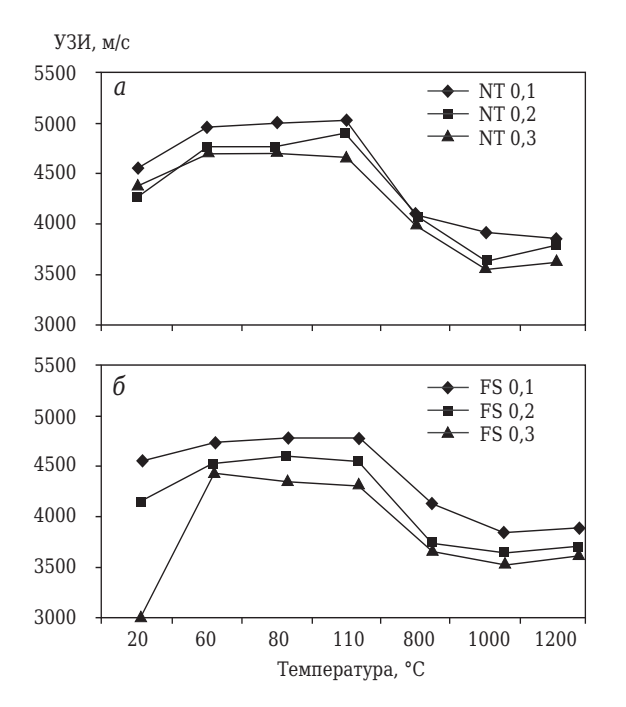


Рис. 5. Изменение УЗИ в образцах бетона в зависимости от термообработки, типа и количества дефлокулянта NT (a) и FS (b)

тверждается рентгенографическими исследованиями (СА гидратируется медленнее). Такие тенденции наблюдались и раньше [6]. После сушки при 60 °C о_{сж} образцов с FS возрастает тем больше, чем больше дефлокулянта в составе бетона, — соответственно на 11, 32 и 67 % по сравнению с σ_{cm} после твердения; σ_{cm} образцов с NT повышается только на 5-6 %. После сушки при 80 °C осж образцов с NT возрастает на 15-28 %, а образцов с FS — на 6-8 % в сравнении с σ_{сж} после сушки при 60 °C. Такой рост прочности образцов с FS может быть объяснен влиянием новообразований [33]. Известно также, что при образовании стратлингита образуется меньше С₃АН₆, и это ведет к уменьшению пористости и одновременно к увеличению σ_{cm} [34]. Сушка образцов с максимальной добавкой FS при 110 °C позволяет увеличить $\sigma_{cж}$ примерно в 2 раза по сравнению с σ_{cm} после твердения; в образцах с NT $\sigma_{cж}$ возрастает на 35-45 %. После обжига в образцах с FS наблюдается ранее отмеченная закономерность: при увеличении количества FS $\sigma_{cж}$ образцов возрастает. Кроме того, можно заметить тенденцию уменьшения осж после обжига при увеличении в образцах количества NT.

Возможно, новые структуры стратлингита в процессе дегидратации образуют пространственные контактные структуры (зоны) в матрице бетона и способствуют развитию прочностных характеристик и снижению внутренних напряжений в бетоне в процессе об-

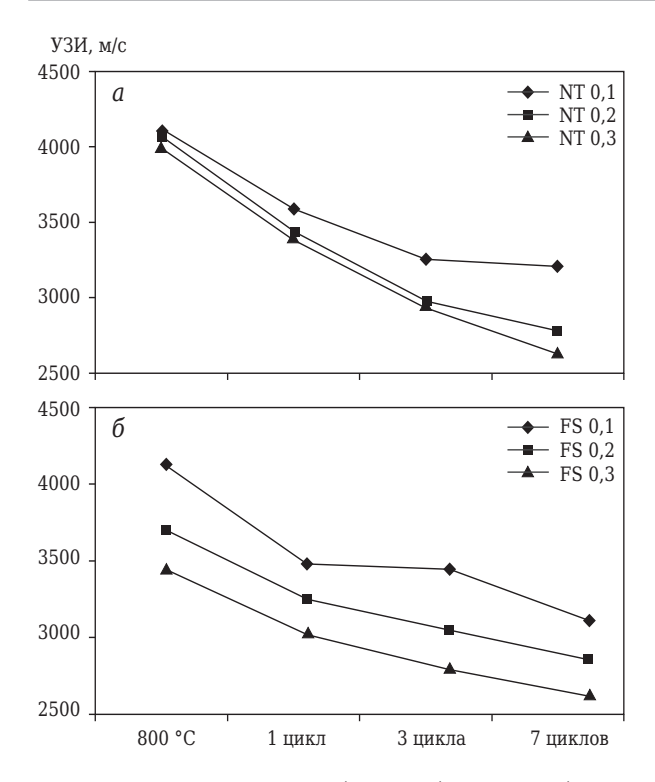


Рис. 6. Изменение УЗИ в образцах бетона с добавкой NT (a) и FS (b) после обжига при 800 °C и после термоциклов

жига. Независимо от типа дефлокулянта наибольшего $\sigma_{\rm cж}$ образцы достигают после обжига при 1000 °C. Максимальные значения $\sigma_{\rm cж}$ после обжига при 1000 и 1200 °C у образцов с FS несколько выше, чем у образцов с NT, что, возможно, объясняется менее интенсивной усадкой [6, 11].

Влияние количества и типа дефлокулянта на образование структуры бетона в процессе твердения и термообработки при 20, 60, 80, 110, 800, 1000 и 1200 °C (рис. 5) оценивали по измерению скорости УЗИ в образцах бетона. Установлено, что увеличение количества добавки FS в отличие от NT замедляет уплотнение структуры в процессе твердения, особенно это касается образования крупных кристаллогидратов и возможного протекания реакций гидратации в аморфной фазе.

В процессе сушки при 60 °С темпы уплотнения структуры в образцах с добавкой FS тем выше, чем больше добавки в составе. Однако в образцах с NT после сушки при 110 °С значения УЗИ достигают 4600-5000 м/с, а в образцах с FS после сушки — 4250-4700 м/с. Это свидетельствует о том, что добавка дефлокулянта FS способствует образованию более пористой структуры.

После обжига при температурах 800 и 1000 °C независимо от типа и количества дефлокулянта значения УЗИ уменьшаются во всех

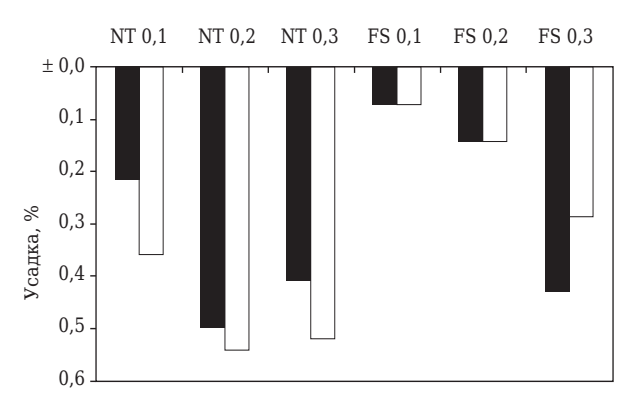


Рис. 7. Усадка образцов бетона после обжига при 1000 (□) и 1200 °C (■) в зависимости от типа и количества дефлокулянта

образцах. Однако если в образцах с NT это уменьшение составляет 20—25% от значений после сушки, то в образцах с FS всего 12%. Таким образом, тип и количество дефлокулянта значительно влияет на структуру бетона в процессе обжига. Образцы бетона с добавкой NT, в которых не протекают реакции между МК и минералами цемента, подвержены процессам деструкции в большей мере, чем образцы с добавкой FS, в которых эти реакции протекают. Увеличение количества дефлокулянтов NT и FS не приводит к заметным изменениям скорости УЗИ в образцах после обжига при 1200°С.

Термостойкость бетонов (рис. 6, 7) оценивали при 800 °C путем циклического нагрева и охлаждения образцов бетона, обожженных при 800 °C. Наибольшие изменения УЗИ происходили после 1-го цикла — у бетона с добавкой NT скорость УЗИ уменьшалась от 12 до 21 %, у бетона с добавкой FS — от 13 до 15 %. Чем выше количество NT в образце, тем более образцы подвержены деструкции в течение 1-го термоцикла. У образцов с FS эта разница составляет 2%. Далее после 7 термоциклов в образцах с NT значение УЗИ уменьшается на 22-37 % от значений УЗИ в образцах после обжига при 800 °C, а в образцах с FS эта разность составляет 24-27%. Можно заключить, что при высоком количестве в бетоне дефлокулянта его тип имеет большое влияние на термостойкость бетона, причем образцы с NT подвержены большей деструкции, чем образцы с FS.

После обжига при 1000 и 1200 °C, когда происходит спекание образцов, измеряли их усадку. Исследования показали значительную разницу между влиянием обоих дефлокулянтов на усадку бетона после обжига. Усадка образцов бетона с 0,1 и 0,2 % NT после обжига при 1000 °C в 2—3 раза превышает усадку образцов с добавкой FS. Однако когда количество NT и

№ 3 2014 HOBble OTHEYNOPЫ ISSN 1683-4518 **139**

FS достигает 0,3 %, значения усадки примерно совпадают. Усадка образцов бетона с добавкой NT после обжига при 1200 °C увеличивается, а образцов с добавкой 0,1 и 0,2 % FS не меняется. В образце бетона с добавкой 0,3 % FS усадка уменьшается. Можно заключить, что усадка образцов бетона с FS в количестве 0,1–0,3 % меньше, чем у образцов бетона с таким же количеством NT.

ЗАКЛЮЧЕНИЕ

Установлено, что тип дефлокулянта и его количество влияют на формирование структуры цементной матрицы, состоящей из глиноземистого цемента и микрокремнезема при соотношении (2,33 : 1,00), и, как следствие, на свойства среднецементного жаростойкого бетона. Установлено, что в процессе твердения при 20 °C увеличение количества NT в матрице ведет к образованию САН10, а увеличение количества FS способствует образованию C₂AH₈. В процессе сушки при 60 и 80 °C реакции гидратации интенсивнее протекают в образцах с FS. в которых вследствие реакции между С2АН8 и микрокремнеземом дополнительно образуется стратлингит, что подтверждается исследованиями на СЭМ. После сушки при 110 °С в образцах с добавкой FS преобладает AH₃, а в образцах с добавкой NT — более плотный C₃AH₆.

Установлено, что увеличение количества добавки NT незначительно влияет на проч-

ность образцов бетона после твердения, в то время как увеличение количества добавки FS снижает прочность. После сушки при 60°C вследствие новообразований прочность образцов с FS возрастает быстрее, чем у образцов с NT. Чем выше количество FS в образцах, тем более (до 2 раз) возрастает их прочность после сушки при 110°C. В образцах с тем же количеством NT прочность повышается на 35–45%.

После обжига в образцах с добавкой NT прослеживается тенденция уменьшения прочности при увеличении количества добавки, а в образцах с добавкой FS, наоборот, наблюдается некоторое возрастание прочности при увеличении количества добавки. Измерения скорости УЗИ подтверждают, что увеличение количества добавки FS в отличие от NT замедляет уплотнение структуры в процессе твердения и сушки и способствует образованию более пористой структуры. Поэтому после обжига структура образцов с NT более подвержена процессам деструкции, чем структура образцов с FS. Скорость УЗИ в образцах с добавкой NT уменьшается на 20-25 %, а в образцах с FS — на 10-12 % от значений после сушки.

После обжига усадка образцов бетона с добавкой FS значительно меньше, чем у образцов с добавкой NT. Исследования термостойкости бетонов показали, что образцы более плотной структуры с добавкой NT более подвержены деструкции в течение 1-го и 3-го цикла, чем образцы с добавкой FS.

Библиографический список

- 1. **Vasilik, P.** New dispersants (deflocculants) for the production of refractory concretes / P. Vasilik // Novye Ogneupory. 2003. N2 8. P2 8–30.
- 2. **Hommer, H.** Recent developments in deflocculants for castables / H. Hommer, K. Wutz // 9th Biennial Wordwide Congress on Refractories, 2006. P. 186–191.
- 3. **Monosi, S.** High alumina cement-silica fume mixtures in the presence of superplasticizers. Superplasticizers and other chemical admixtures in concrete / S. Monosi, R. Troli, M. Collepardi // Proceedings fifth CANMET/ACI International Conference, Rome, Italy, 1997.-P.615-635.
- 4. **Hommer, H.** The effect of polycarboxylate ethers as deflocculants in microsilica containing castables / H.Hommer, J. von Seyerl // Published in : Proceedings of the 10th Biennial Wordwide Congress on Refractories, UNITECR 07, Dresden, Germany, September 18—21, 2007. P. 401–404.
- 5. *Uchikawa*, *H*. The role of steric repulsive force in the dispersion of cement particles in fresh paste prepared with organic admixture / *H*. *Uchikawa*, *S. Hanehara*, *D. Sawaki* // Cement and Concrete Research. 1997. Vol. 27, № 1. P. 37–50.

- 6. **Pundiene, I.** The effect of deflocculants on the structure and physical-mechanical properties of fireclay refractory castables / I. Pundiene, V. Antonovich, R. Stonys [et al.] // Material Science. 2012. Vol. 18, $N_{\rm P}$ 4. P. 390—395.
- 7. **Goberis, S.** The effect of sodium tripolyphosphate on the properties of medium-cement refractory castables based on Gorkal-40 cement / S. Goberis, I. Pundiene, V. Antonovich // Refractories and Industrial Ceramics. -2005. Vol. 46, № 6. P. 403–408.
- 8. **Routschka**, **G.** New plasticizer for ultralow cement (ULCC) and alusite and bauxite castables / G.Routschka, D.M.Daichennolt, K.Wutz // Interceram. 2000. Vol 49, N 5. P. 356–359.
- 9. **Pundiene**, **I.** Development of refractory concrete for extreme conditions / *I. Pundienė*, *V. Antonovich*, *R. Stonys*, *I. Demidova-Buizinene* // 5th Baltic conference on silicate materials (BaltSilica), 23–25 May 2011, Riga, Latvia. IOP Conference Series : Materials Science and Engineering Bristol : IOP Publishing Ltd. -2011. -Vol. 25. -P. 1-9.
- 10. Wutz, K. Advanced polymers for monolithic refractories / K. Wutz // Published in the Proceedings

- of the Biennial Wordwide Congress on Refractories, UNITECR 2001. P. 85-97.
- 11. *Goberis, S.* Effect of the quality of microsilica on the flow properties of cement slurry and characteristics of low-cement refractory concrete on a chamotte filler / *S. Goberis, V. Antonovich, I. Pundiene, R. Stonis* // Refractories and Industrial Ceramics. 2007. Vol. 48, \mathbb{N}_2 2. P. 123—127.
- 12. **Antonovich, V.** A new generation of deflocculants and microsilica used to modify the properties of a conventional refactory based on a chamotte filler / V. **Antonovich**, S. **Goberis**, I. **Pundienė**, R. **Stonis** // Refractories and Industrial Ceramics. 2006. Vol. 47, \mathbb{N}_2 3. \mathbb{R} 178—182.
- 13. *Otroj, S.* The factors of influence on the properties of glumina-spinel self-flowing castables / S. *Otroj, R. Mazban, M. Adibi, K. Nikoo* // 48th International colloquium on refractories, Aachen, 2005. P. 52-55.
- 14. **Von Seyerl, J.** Influence of temperature and deflocculant on the handing properties of the high density, high alumina castables / *J. von Seyerl* // Refractory Manual. -2008. P. 62-65.
- 15. **Hommer, H.** The effect of organic deflocculants in castables / H. Hommer, K. Wutz // Proceedings of the Technical Association of Refractories, TARJ, Japan, Taikabutsu, 2006. Vol. 58, $Ne \ 5.$ P. 248—255.
- 16. **Bier**, **T**. Admixtures with calcium aluminate cements and CAS based castables / **T**. **Bier**, **C**. **Parr** // Lafarge Aluminates: presented at the 28th Annual SA Ceramic Society Symposium, Johannesburg, 1996.—P. 1–8.
- 17. **Parr, C.** Calcium aluminate cements (CAC) for monolithic refractories / C. Parr, E. Spreafico // 1st Monolithic conference, Tehran, 1997. P. 10.
- 18. *Mathieu A.* Aluminous cement with high alumina content and chemical binders / *A. Mathieu //* Presented at «the engineering and Use of Monolithic Refractories South Africa», 1993. P. 8.
- 19. **Peng**, **H**. Influence of microsilica on properties of bauxite-based castables / H. Peng, B. Myhre, J. Olaf Roszinski // Elkem Materials A/S.
- 20. **Pundiene**, **I.** Study of the possible application of low quality microsilica in medium cement heat-resistant concrete with deflocculant Castament FS 20 / I. Pundiene, S. Goberis, V. Antonovich, R. Stonis // Refractories and Industrial Ceramics. 2007. Vol. 48, \mathbb{N} 4. P. 298–302.
- 21. **Ding, J.** Effect of different inorganic salts / alkali on conversion-prevention in high alumina cement products / J. Ding, Y. Fu, J. J. Beaudoin // Advanced cement based materials. 1996. No.4. P. 43-47.
- 22. *Marcdargent, S.* Hydration and strength of blends CAC-fume silica and stability of hydrates / *S. Marcdargent, M. Testud, J. P. Bayoux, A. Mathieu ||* In Proceedings of the 9th International Congress on the Chemistry of Cement, vol. W; New Delhi, India, 1992. P. 651–657.
- 23. **Rodger, S. A.** The chemistry of hydration of high alumina cement in the presence of accelerating and retarding admixtures / S. A. Rodger, D. Double // Ce-

- ment and Cocrete Research. 1984. Vol. 14, \mathbb{N} 1. P. 73—82.
- 24. **Edmonds**, **R. N.** The hydratation of mixtures of monocalcium aliuminate and blastfurnace slag / R. N. Edmonds, A. J. Majumdar // Cement and Cocrete Research. 1989. Vol. 19, N_{\odot} 5. P. 779—782.
- 25. **Antonovič, V.** Procedural elements in estimation of the thermal shock resistance of different types of refractory concrete based on chamotte filler / V. Antonovič, M. Šukšta, I. Pundienė, R. Stonys // Refractories and Industrial Ceramics. New York: Consultants Bureau/ Springer. 2011. Vol. 52, N 1. P. 70—74.
- 26. **Тэйлор, Х.** Химия цемента / Х. Тэйлор. М. : Мир, 1996. С. 521.
- 27. *Moehmel, S.* The Influence of microsilica on the course of hydration monocalcium aluminat / *S. Moehmel, W. Gessner, T. Bier, C. Parr* // Calcium Aluminate Cements 2001. Proceedings of the International Conference on Calcium Aluminate Cements (CAC) Held at Heriot-Watt University Edinburg, Scotland, UK, 16–19 July 2001. P. 319–329.
- 28. *Garsel, D.* New developments in calcium aluminate cements and in dispersing aluminas for microsilica-containing castable systems / *D. Garsel, J. Heijden, R. Kockegey-Lorenz, G. Kriechbaum //* Presented at XIII Conference on Refractories, Prague, 28–29.03.2000.
- 29. *Monsen, B.* Effect of microsilica on physical properties and mineralogical composition of refractory concretes published in advances in ceramics / *B. Monsen, A. Seltveit* // New Developments in Monolithic Refractories, Elkem Materials, 1984.—Vol. 13.
- 30. **Fu, Y.** Mechanisms of stratlingite formation in high alumina cement siliceous material systems / Y. Fu, J. Ding, J. Beaudoin // Accepted for proc. 2nd CANMET / ACI Intl. Sym., Las Vegas, USA, June 11–14, 1995.
- 31. **Bentsen, S.** Effect of Elkem Microsilica on conversion of HAC / S. Bentsen, A. Seltveit, B. Sandberg // Presented at the Midgley Symposium on Calcium Aluminate Cement, London, 9–11 July, 1990.
- 32. **Antonovič**, **V.** The Effect of Temperature on the Formation of the Hydrated Calcium Aluminate Cement Structure / V. Antonovič, J. Kerienė, R. Boris, M. Aleknevičius // Procedia Engineering. 2013. Vol. 57. P. 99—106.
- 33. **Quillin, K.** Effects of w/c ratio and curing conditions on strength development in BRECEM concretes / K. Quillin, G. Osborne, A. Majumdar, B. Singh // Cement and Concrete Research. 2001. Vol. 31. P. 627–632.
- 34. *Majumdar, A. J.* Hydration of mixtures of 'Ciment Fondu' aluminous cement and granulated blast furnace slag / *A. J. Majumdar, B. Singh, R. N. Edmonds* // Cement and Concrete Research. 1990. Vol. 20, № 2. P. 197–208. ■

Получено 30.12.13 © И. Демидова-Буйзинене, И. Пундиене, 2014 г.

№ 3 2014 HOBble OTHEYNOPЫ ISSN 1683-4518 **141**